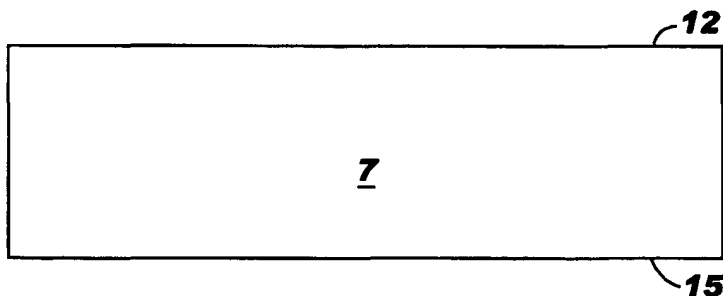
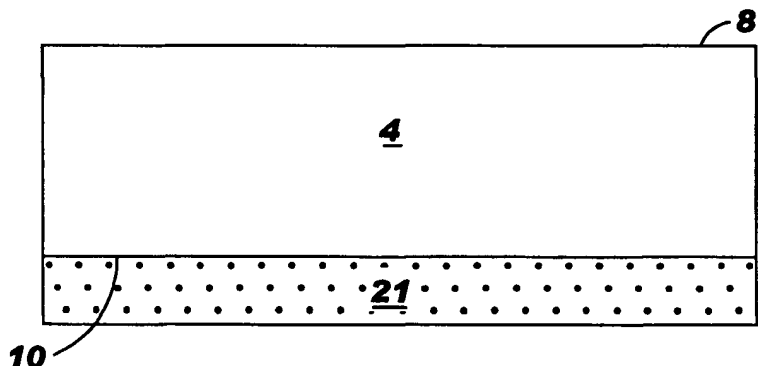


BUR920040052US1 (WDS)
Grant, et al.

1/9
FIG. 1



BUR920040052US1

2/9
FIG. 2A

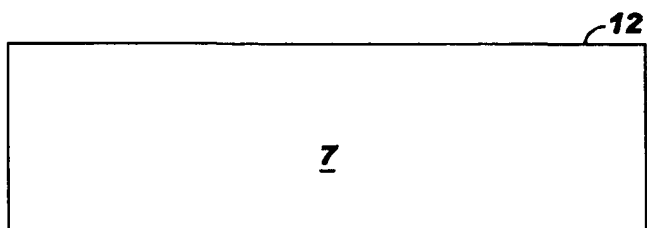
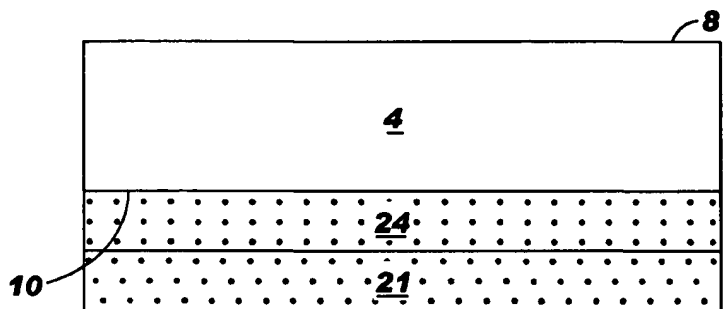
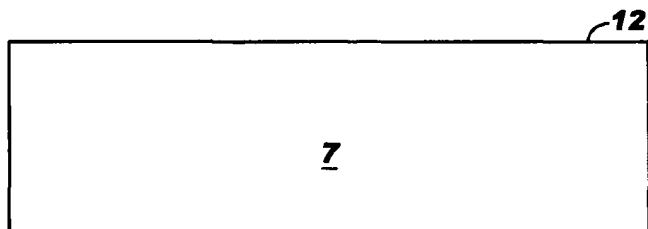
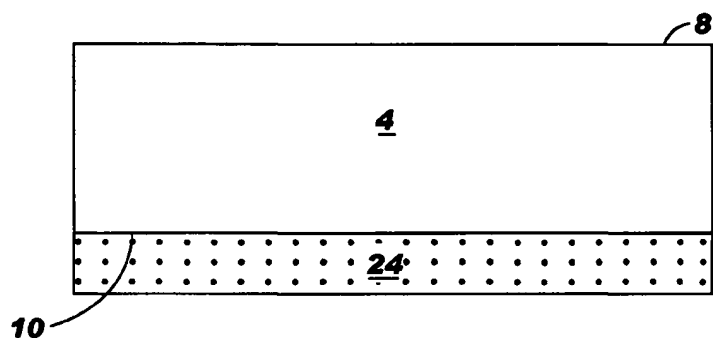


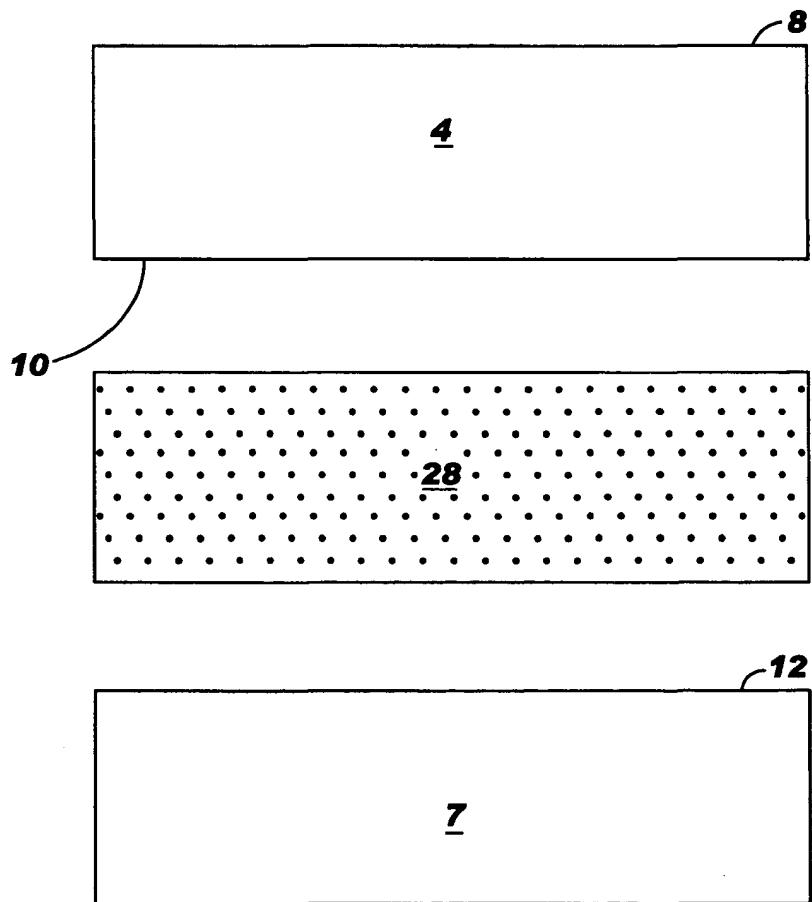
FIG. 2B



BUR920040052US1

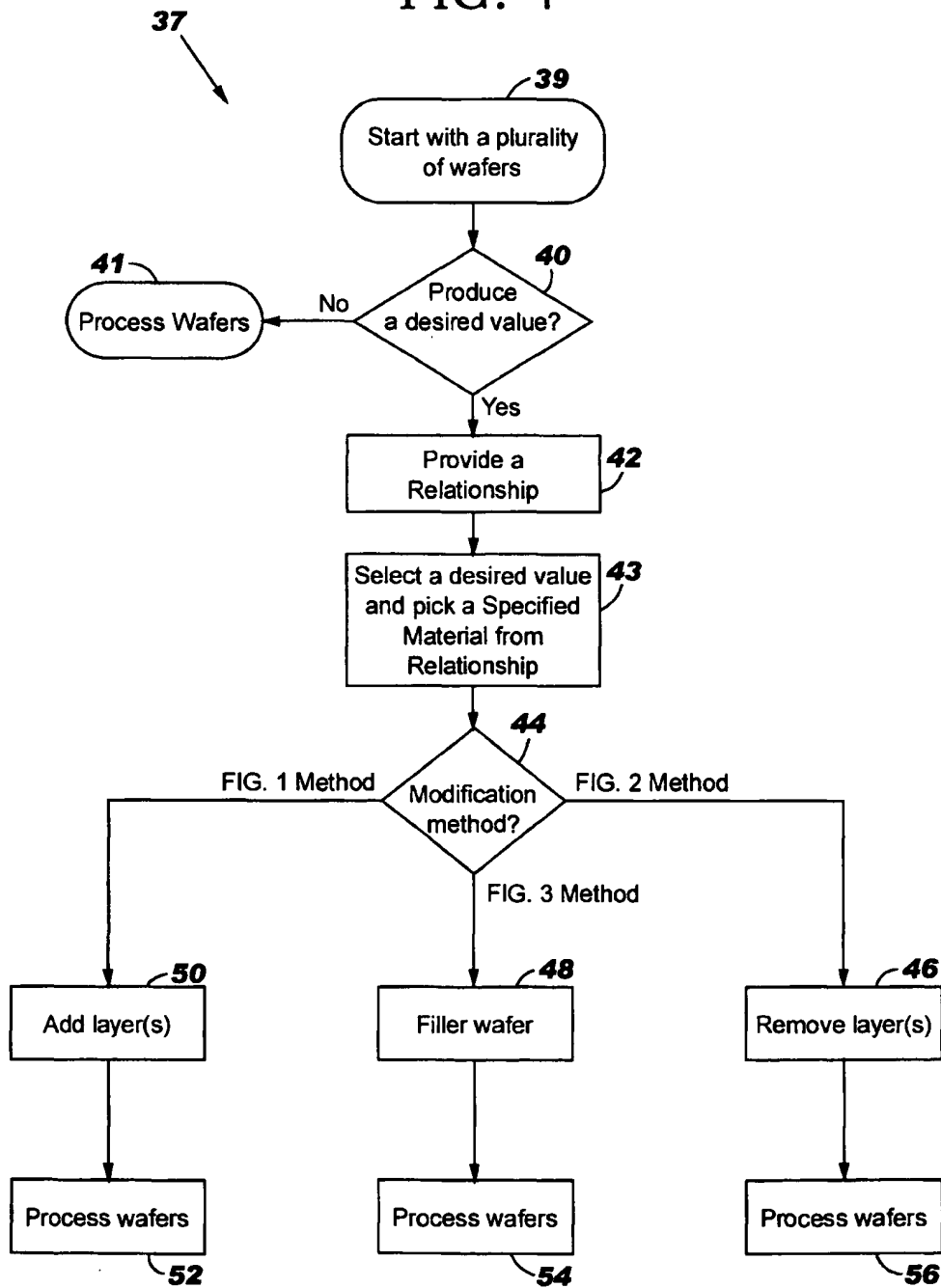
3/9

FIG. 3



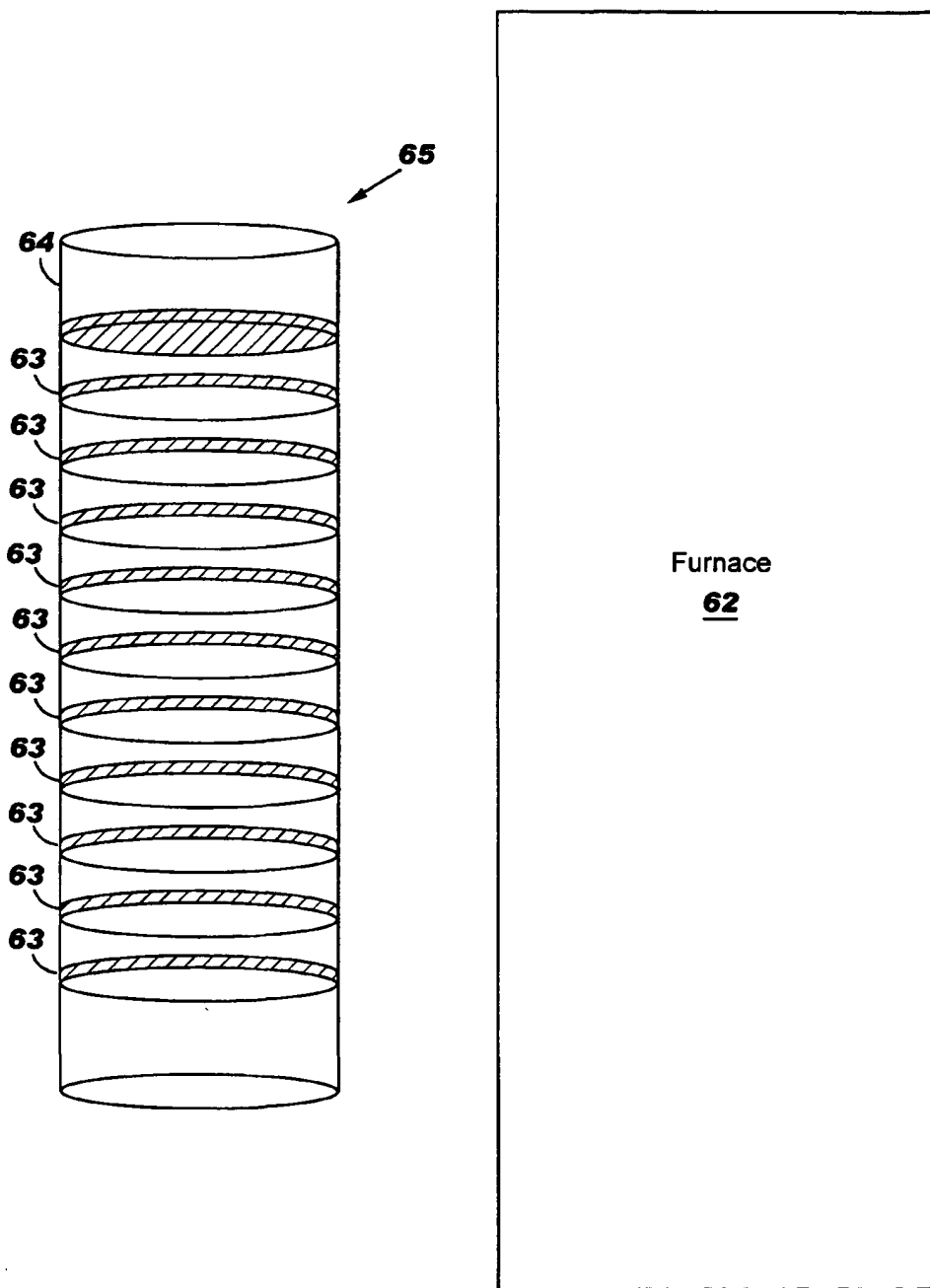
BUR920040052US1

4/9
FIG. 4



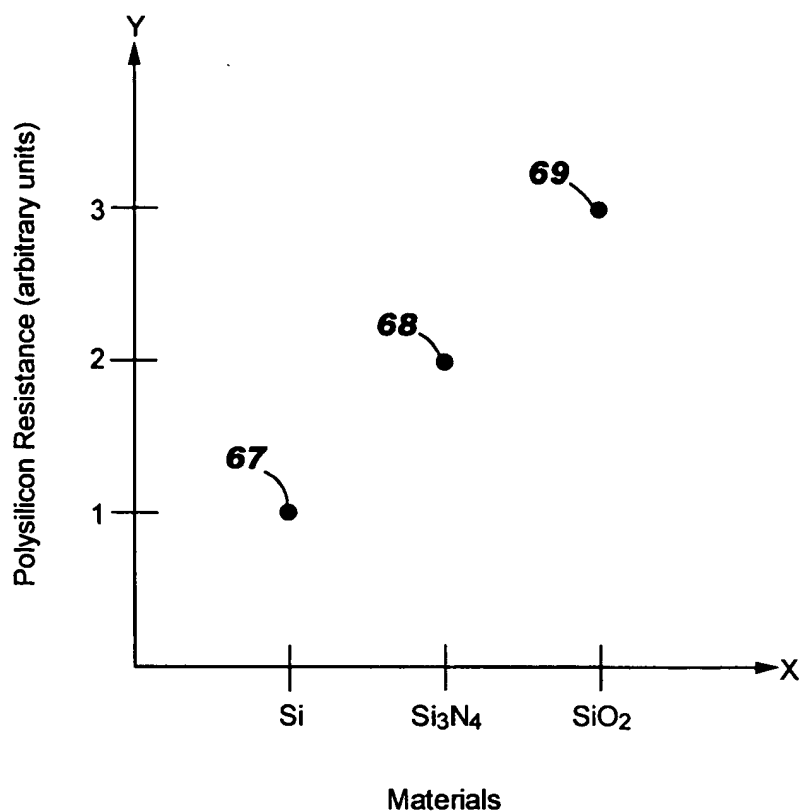
BUR920040052US1

5/9
FIG. 5



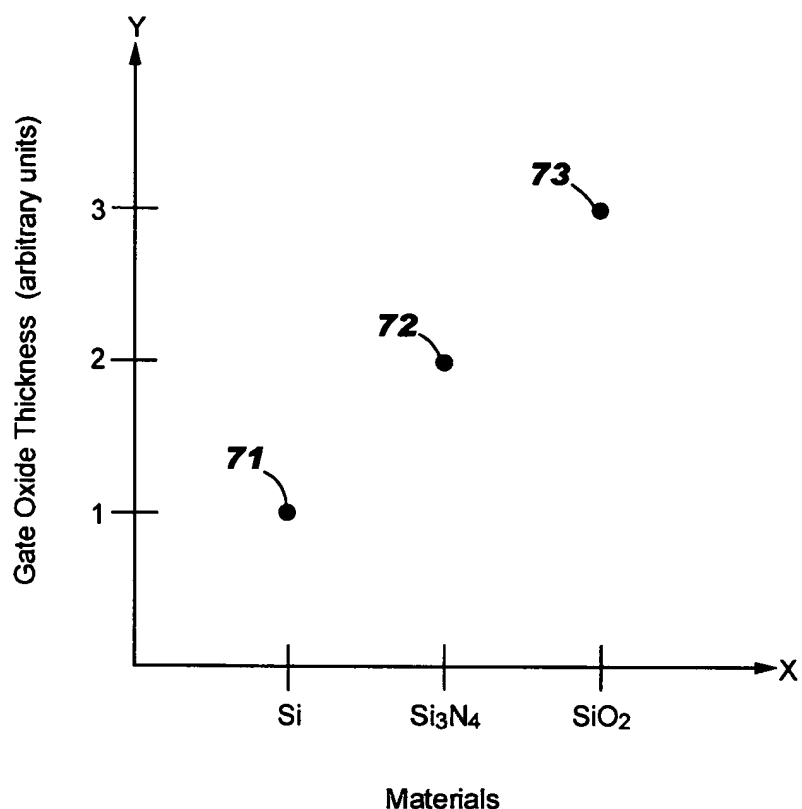
BUR920040052US1

6/9
FIG. 6



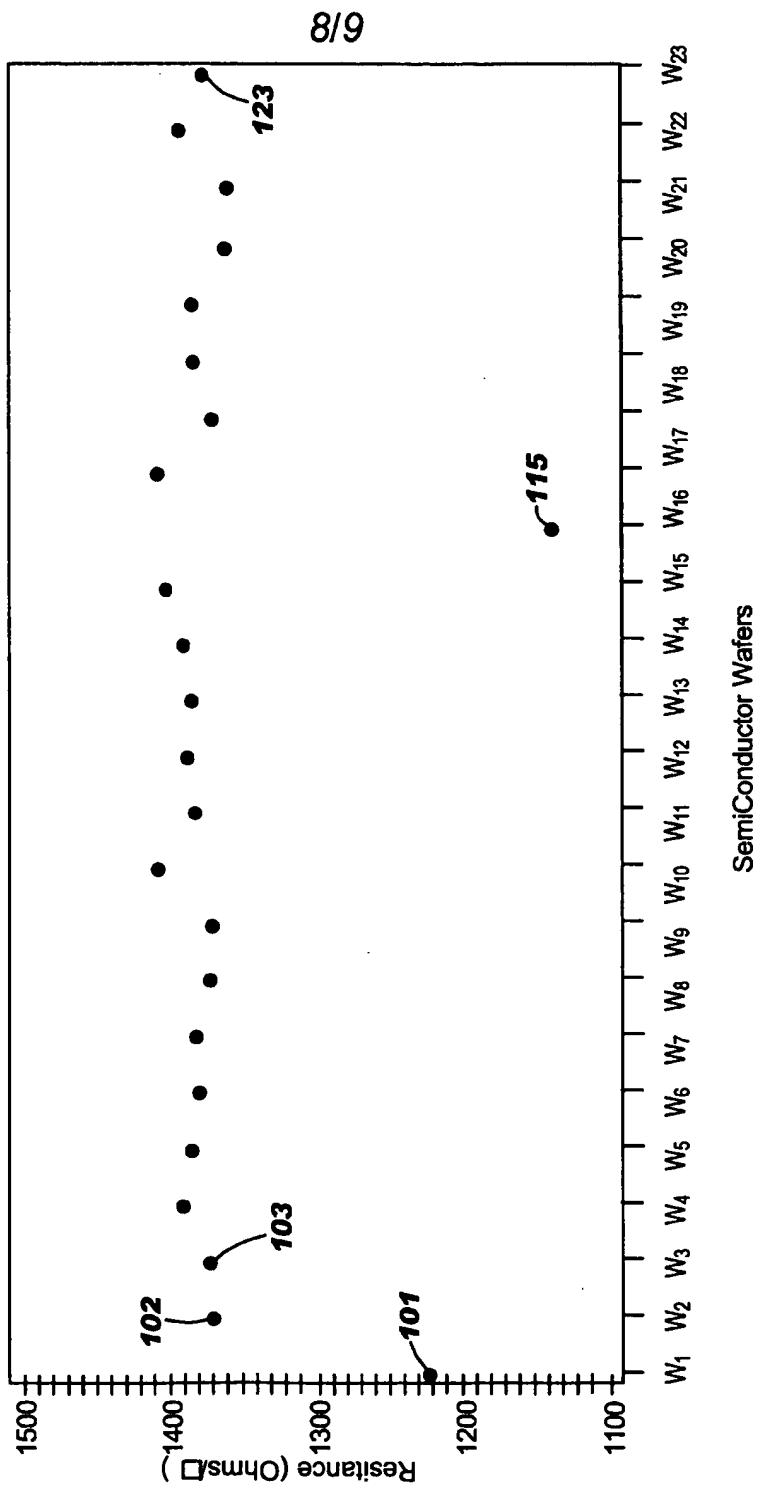
BUR920040052US1

7/9
FIG. 7



BUR920040052US1

FIG. 8



BUR920040052US1

9/9

FIG. 9

